Московский физико-технический институт (Государственный университет) Кафедра молекулярной физики

Физические методы исследования

Лекция 16

Масс-спектрометрия Структурные исследования

г. Долгопрудный, 19 декабря 2015г.

План

- Введение. История. Масс-спектрометр Астона. Ионизация электронным ударом.
- Вакуумная техника в масс-спектрометрии
- Масс-анализаторы:
 - Масс-спектрометр Астона
 - Квадрупольный масс-фильтр
 - Квадрупольная ионная ловушка
 - Времяпролетный масс-спектрометр
 - Масс-спектрометры с преобразование Фурье
- Детектирование ионов
- Ионные источники
- Решение структурных задач методами массспектрометрии

2

Линейный квадруполь

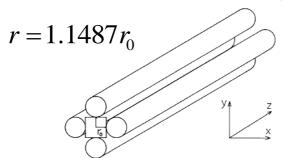




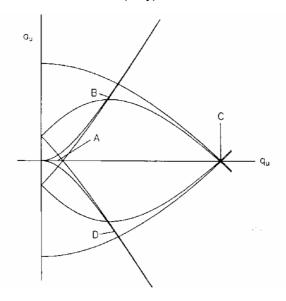
Диаграмма стабильности для квадрупольного масс-фильтра



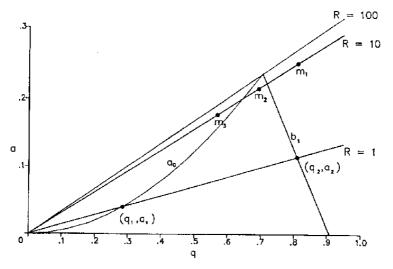


Некоторые области стабильности решений уравнения Матье для двумерного квадрупольного поля

Диаграмма стабильности решений уравнения Матьё для двух осей $(x \ u \ y)$



Криволинейный треугольник стабильности

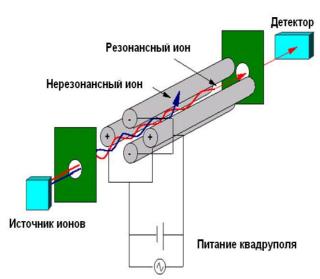


Линии сканирования соответствуют значениям величины разрешающей способности 1, 10 и 100. Массы $\rm m_1, m_2$ и $\rm m_3$ соответствуют трем однозарядным ионам с увеличивающейся массой

Если параметры r_0 , Ω , U, V фиксированы, то ионам разных масс соответствуют такие значения m, при которых выполняется условие

$$\frac{a}{q} = \frac{2U}{V} = const$$

Квадрупольный массспектрометр



Ионные ловушки (Ion Trap)

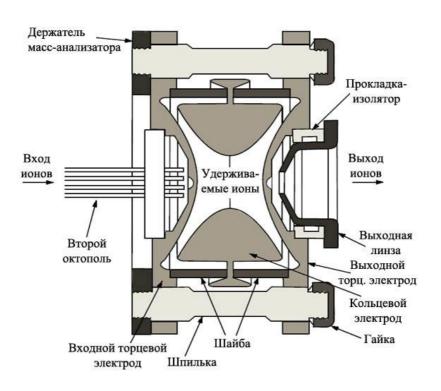
The ion trap consists of three electrodes with hyperbolic surfaces, the central ring electrode, and two adjacent end-cap electrodes. The schematic of the assembly shows how the electrodes are aligned and isolated using ceranic spacers and posts. The device is radially symmetrical, and is and 20 represent its size.

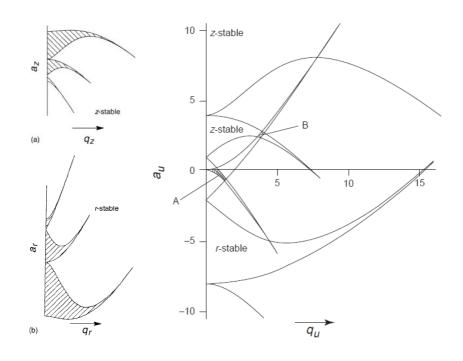
Ion Source Ions in Endcap Ring Endcap

Ceramic post and spacer and spacers and spacers and spacers and spacers and spacers and spacers and spacers.

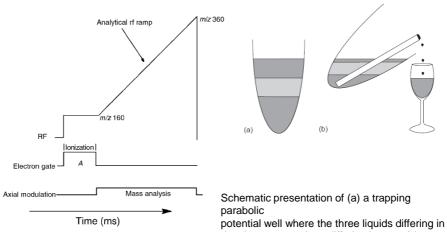
Endcap Ring Endcap

Ring Endcap



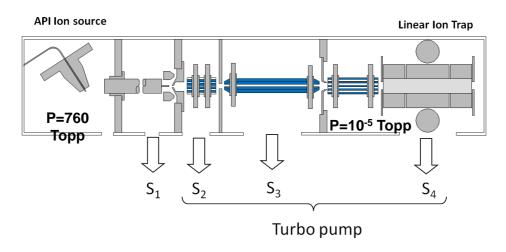


Сканирование по массам в ионных ловушках

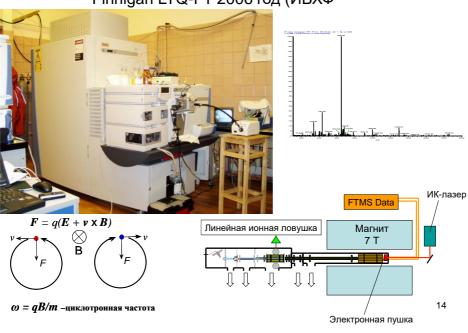


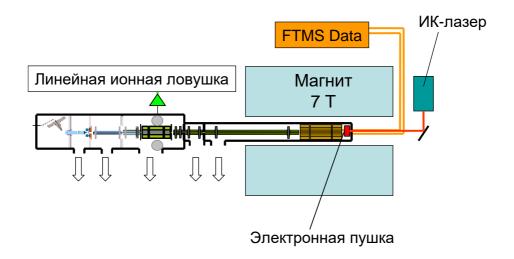
potential well where the three liquids differing in density represent ions differing in mass/charge ratio; (b) the tilting of the well corresponds to ramping of the rf potential while the straw, with which ions are withdrawn in order of increasing mass/charge ratio, represents axial modulation.

Системы транспорта ионов с постадийной откачкой и радиочастотными мультиполями



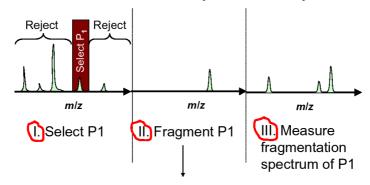
Комбинированный масс-спектрометр ИЦР+ионная ловушка Finnigan LTQ-FT 2006 год (ИБХФ



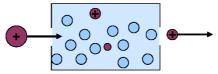


15

Tandem MS (or MS/MS)



Collision Induced Dissociation (CID)



8

Методы фрагментирования ионов белковых молекул

Столкновительная диссоциация Collision-Induced Dissociation (SORI-CID)

(M + 4H+)** + N2 --> fragments

Многофотонная ИК диссоциация Infrared Multiphoton Dissociation (IRMPD)

(M + 4H+) + nhv --> (M + 4H+)** --> fragments

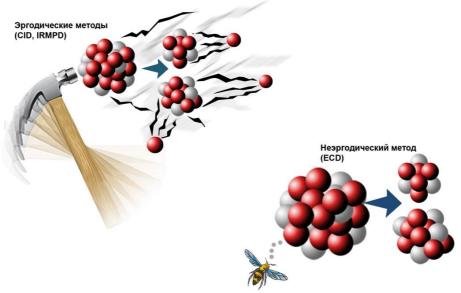
Диссоциация при захвате медленных электронов Electron Capture Dissociation (ECD)

(M + 4H+) + e- --> (M + H + 3H+)** --> fragments

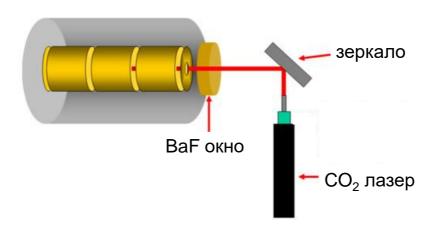
Диссоциация при передаче электрона Electron Transfer Dissociation (ETD)

(M + 4H+) + A- --> (M + H + 3H+)** + A --> fragments

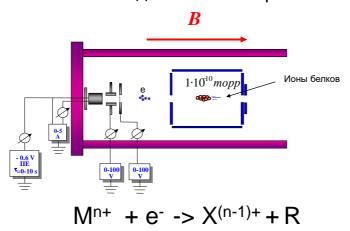
Эргодические и неэргодические методы фрагментации



Многофотонная диссоциация ИК лазерным излучением в ловушке масс-спектрометра ионного циклотронного резонанса

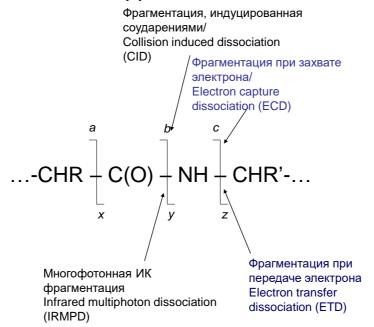


Захват медленных электронов

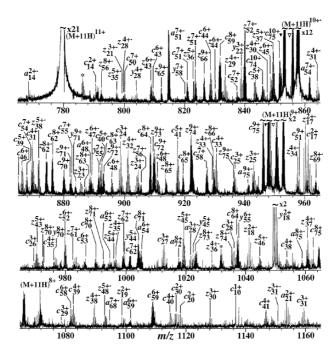


Диссоциация пепдидов и белков при захвате медленных электронов (нанометровые длины волн де Бройля)

Методы фрагментации пептидов



ECD спектр 11+ ионов бычьего юбиквитина



De Novo секвенирование юбиквитина 11 зарядный молекулярный ион

